DOI:10.13870/j.cnki.stbcxb.2024.06.032

節良,陈佳,龙文涛,等.贵州省退耕还林(草)时空格局及其固碳效应[J].水土保持学报,2024,38(6):170-177.

TAI Liang, CHEN Jia, LONG Wentao, et al. Spatial-temporal pattern of the "Grain-for-Green Project" and its carbon sequestration effect in Guizhou Province[J]. Journal of Soil and Water Conservation, 2024, 38(6):170-177.

贵州省退耕还林(草)时空格局及其固碳效应

郃良,陈佳,龙文涛,蔡华银,王欣星

(贵州大学农学院,贵阳 550025)

摘 要: [目的] 为探究退耕还林(草)工程对贵州省陆地生态系统碳储量的影响。[方法] 以贵州省为例,利用 ArcGIS 与 InVEST 模型相结合,研究 2000—2020 年贵州省退耕还林(草)时空分布格局及碳储量变化。[结果] (1)2000—2020 年贵州省土地利用变化显著,综合动态度呈先下降后上升的趋势,依次为0.32%,0.11%,0.09%,0.35%。耕地、林地和草地之间相互转换,建设用地与水域主要来源于耕地。(2)2000—2020 年退耕还林(草)总面积为 238.17 万 hm²,土地利用转型主要以耕地转向林地为主,占总退耕还林(草)总面积的 84.86%,主要分布在遵义市、毕节市和黔西南州等地。(3)2000—2020 年退耕还林(草)区的碳储量共增加 257.40×10⁶ t,呈逐渐增长的趋势。耕地转向林地的固碳量最大,达 239.89×10⁶ t (93.2%),土壤碳库为主要贡献者,碳储量为 178.15×10⁶ t (69.21%)。[结论] 实施退耕还林(草)工程有助于提高区域生态系统碳储量,耕地转向林地的固碳能力最大,耕地转向草地的固碳能力较小,在未来实施退耕还林(草)工程可优先考虑耕地退耕成林地,有助于提高区域碳储量。

关键词:退耕还林(草)工程;时空格局;碳储量;InVEST模型

中图分类号:X171.1

文献标识码:A

文章编号:1009-2242-(2024)06-0170-08

Spatial-temporal Pattern of the "Grain-for-Green Project" and Its Carbon Sequestration Effect in Guizhou Province

TAI Liang, CHEN Jia, LONG Wentao, CAI Huayin, WANG Xinxing

(College of Agriculture, Guizhou University, Guiyang 550025, China)

Abstract: [Objective] To analyze the impacts of the "Grain-for-Green Project" on the ecosystem carbon stocks in Guizhou Province. [Methods] Taking Guizhou Province as an example, the spatial and temporal distribution pattern and carbon stock changes of the "Grain-for-Green Project" in Guizhou Province from 2000 to 2020 were investigated by using ArcGIS in combination with the InVEST model. [Results] (1) During the 20-year period, land use in Guizhou Province had changed significantly, and the comprehensive dynamic had shown a downward and then an upward trend, which was 0.32%, 0.11%, 0.09%, 0.35% in order. There was an interconversion among cropland, woodland and grassland, with built-up land and waters mainly derived from cropland. (2) The total area of the "Grain-for-Green Project" from 2000 to 2020 was 2 381 700 hm², of which the land use transformation was mainly dominated by the conversion of cropland to forest land, which accounted for 84.86% of the total area of the "Grain-for-Green Project", and mainly in Zunyi, Bijie and Qianxinan Prefecture, etc. (3) A total of 257.40 × 10⁶ t carbon stock was added to the "Grain-for-Green Project" area from 2000 to 2020, showing a trend of gradual growth. Cropland shifted to forest land sequestered the largest amount of carbon, amounting to 239.89×10^6 t (93.2%), and the soil carbon pool was the main contributor, with a carbon stock of 178.15 \times 10⁶ t (69.21%). [Conclusion] The implementation of the "Grain-for-Green Project" helps to increase the regional ecosystem carbon stock. The carbon sequestration capacity of conversion of cropland to forest land is the largest, and the carbon

收稿日期:2024-09-15

修回日期:2024-09-22

录用日期:2024-10-08

网络首发日期(www.cnki.net):2024-12-09

资助项目:国家自然科学基金项目(42367047);贵州大学博士基金项目(2021042)

第一作者: 邰良(1999—), 男, 在读硕士研究生, 主要从事土地利用变化及其固碳效应研究。 E-mail: gztailiang@outlook.com 通信作者: 陈佳(1983—), 男, 副教授, 硕士生导师, 主要从事水土保持生态服务功能研究。 E-mail: chen_li@nwafu.edu.cn

sequestration capacity of conversion of cropland to grassland is smaller. The implementation of the "Grain-for-Green Project" in the future can prioritize the conversion of cropland to forest land, in order to increase the regional carbon stock.

Keywords: the "Grain-for-Green Project"; spatial and temporal patterns; carbon stocks; InVEST model

Received: 2024-09-15

Revised: 2024-09-22

Accepted: 2024-10-08

Online(www.cnki.net):2024-12-09

退耕还林(草)工程是我国投入资金最多、执行力 度最大、群众参与程度最高的重大生态恢复工程之 一[1]。该工程分为2个阶段:第1阶段为1999年开 始试点实施的前一轮退耕还林(草)工程,第2阶段为 2014年开启的新一轮退耕还林(草)工程。主要以 25°以上坡耕地、严重石漠化耕地、严重污染耕地等为 退耕对象,实行退耕还林、退牧还草、封山育林等主要 措施,2000-2020年我国已累计退耕还林(草)超 3 000万 hm²,有效控制水土流失,提高我国植被覆盖 率,优化退耕区的土地利用类型,同时也改变陆地生 态系统的结构和功能。学术界从多个角度评估退耕 还林(草)工程对水土保持[2]、粮食生产[3]、固碳量[4] 等方面的影响。在退耕还林(草)工程实施成效上,研 究方法上多采用统计数据法、实地调查法等,但这种 方法需要投入大量的人力和财力。综合利用遥感 (RS)和地理信息系统(GIS)技术监测退耕还林(草) 工程,可以有效减少人力、财力的投入,且能够全面、 准确地掌握工程的实施情况。众多学者运用 RS 和 GIS 的技术和方法,评价退耕还林(草)工程对土地利 用变化的影响。度阳[5]利用 RS 和 GIS 技术获取黄 土高原 2000 年、2010 年和 2015 年土地利用数据,并 基于地形、气象、社会经济和政策因素,分析各影响因 素对于退耕还林(草)工程的作用;方月等[6]基于 RS 和 GIS,探究退耕还林(草)工程实施以来陕西省洛川 县土地利用和植被的变化情况。由此可见,RS与 GIS 技术在退耕还林(草)工程方面的研究众多且成 效显著。

陆地生态系统是大气 CO2重要的汇^[7],林地、草地等通过吸收 CO2等温室气体来调节气候^[8]。为应对全球气候变化的问题,陆地生态系统碳储量成为研究的热点^[9]。近年来,国内外学者^[10-11]对陆地生态系统及其碳储量开展大量研究。其研究方法主要有样地清查法、模型模拟法等,样地清查法具有方法明确、技术简单和数据准确的优点,但该方法工作量大、耗时长,通常仅适用于小尺度研究,收集数据过程中会对研究区域环境造成干扰,且不能反映时间变化。随着 3S 技术的发展,大量学者通过模型模拟法评估生态系统碳储量的影响,InVEST 模型因其所需数据量少,操作简单和运算速度快等特点被广泛应

用。KOHESTANI等[12]基于 InVEST模型评估了1988—2018年伊朗北部流域的碳储量;胡晓倩[13]、姚楠等[14]基于 InVEST模型评估了退耕还林(草)工程在南方红壤丘陵区、黄土丘陵沟壑区的生态系统碳储量的时空变化,得出实施退耕还林(草)工程对区域生态系统碳储量具有显著的正面作用。国内研究多集中在黄土高原等地区,退耕还林(草)工程不仅改变区域的土地利用方式,还影响了陆地生态系统碳循环。因此,研究退耕还林(草)工程背景下碳储量的变化,对有效地提高区域碳储量有重要的意义。

贵州省是我国喀斯特地貌分布最广的省份,占全省总面积的70%以上,是"两江"上游生态屏障区、石漠化生态脆弱区高度耦合的省份[15],继四川、陕西、甘肃3省试点开启退耕还林(草)工程后,贵州省最早于2000年开启退耕还林(草)工程,到2020年退耕还林(草)工程的实施使得土地利用格局发生显著变化,进而影响陆地生态系统碳储量。因此,本文以贵州省为研究区,探究2000—2020年退耕还林(草)时空分布及其碳储量的变化特征,评估该工程对贵州省陆地生态系统碳储量的影响。为下一步退耕还林(草)工程的实施与管理,我国"双碳"目标下的增汇减排工作提供参考。

1 材料与方法

1.1 研究区概况

贵州省位于我国西南地区($103^{\circ}36'-109^{\circ}35'$ E, $24^{\circ}37'-29^{\circ}13'$ N),总面积 176 167 km²,共有 9 个地级行政区(图 1)。地势西高东低,海拔最高为 2 900.6 m,最低为 147.8 m,为典型的喀斯特地貌,山地、丘陵占 90%以上,是全国唯一没有平原的省份,属于亚热带季风气候区,年平均气温 15 $^{\circ}$ C,年平均降水量1 100° 1 300 mm。

贵州省于 2000 年开启第 1 轮退耕还林(草)工程,2014 年启动第 2 轮退耕还林(草)工程,截至 2021 年已累计退耕还林 247.22 万 hm²,取得显著的生态效益^[16]。尽管如此,贵州省仍有大量坡耕地、严重石漠化耕地及受重金属镉、铅、锌严重污染的耕地需要退耕还林(草)。

1.2 数据来源与预处理

来源于 YANG 等^[17]制作的中国逐年 30 m 土地利用/覆盖 数据集 (annual china land cover dataset, CLCD), CLCD 的精度 (overall accuracy, OA); 76.45% <

OA<82.51%,平均 OA 为 79.30%±1.99%,选取贵州省 2000年、2005年、2010年、2015年、2020年土地覆盖的 空间数据,根据本研究的实际状况,将土地利用类型 重分类为耕地、林地、草地、水域、未利用地和建设用地 6 类。数字高程模型(DEM)数据和行政边界数据,下载于地理空间数据云(https://www.gscloud.cn)。为便于 ArcGIS 处理,将数据均统一为 Krasovsky_1940_Albers 投影坐标系。

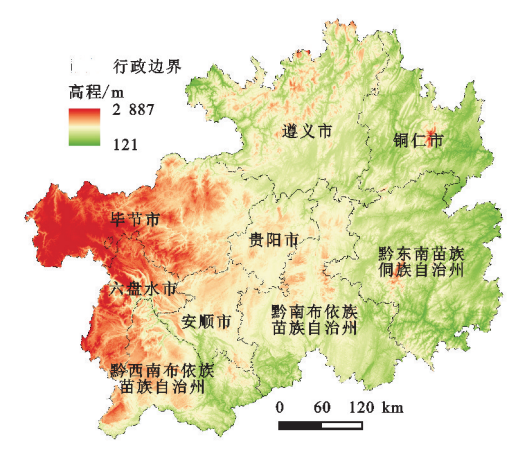


图 1 贵州省地理位置示意

Fig.1 Geographic location of Guizhou Province

1.3 研究方法

1.3.1 土地利用动态度

(1)单一土地利用动态度可描述区域某一土地利用类型的变化速,计算公式^[18]为:

$$K = \frac{U_b - U_a}{U} \times \frac{1}{T} \times 100\% \tag{1}$$

式中:K 为研究时段内某一种土地利用类型动态度; U_b 和 U_a 分别为研究期末和期初该种土地利用类型的面积 (hm^2) ; T 为研究时段。

(2)综合土地动态度可分析某一研究区的综合土 地利用动态度,计算公式[19]为:

$$L_c = \frac{\sum_{i=1}^{n} \Delta L_{U_{i-j}}}{2\sum_{i=1}^{n} \Delta L U_i} \times \frac{1}{T} \times 100\%$$
 (2)

式中: L_c 为综合土地利用动态度; $\Delta L_{U_{i-j}}$ 为i土地利用类型转为j土地利用类型面积的绝对值; ΔL_i 为初期土地利用类型的面积(hm^2);T为研究时段。

1.3.2 土地利用转移矩阵 土地利用转移矩阵能够 反映研究期间区域内各种土地利用类型的结构特征及 面积之间相互转化的情况和方向[20]。表达式为:

$$S_{ij} = \begin{cases} S_{11} & S_{12} & \cdots & S_{1n} \\ S_{21} & S_{22} & \cdots & S_{2n} \\ \vdots & \vdots & S_{ij} & \vdots \\ S_{n1} & S_{n2} & \cdots & S_{nn} \end{cases}$$
(3)

式中: S_{ij} 为 i 类土地利用类型转换成 j 类土地利用类型的面积, 当 i=j 时, S_{ij} 为某种未发生土地利用变化的土地类型的面积; i 和 j 分别为转移前和转移后的类型(i, $j=1,2,\cdots,n$); n 为土地利用类型数。

1.3.3 退耕还林(草)区的识别 退耕还林(草)工程 使土地利用类型发生变化。与该工程相关的土地利用变化类型包括耕地转向林地、耕地转向草地、草地 转向林地 3 种类型^[21]。研究以 5 年为 1 个研究时段,利用 ArcGIS 分析 2000 年、2005 年、2010 年、2015 年、2020 年贵州省土地利用转移矩阵,并提取上述有关的土地利用变化类型,从而获得退耕还林(草)工程的时空分布范围。

1.3.4 InVEST 模型估算碳储量 InVEST (integrated valuation of ecosystem services and tradeoffs)模型是评估生态服务功能及其价值的综合评估模型。该模型 Carbon 模块能够可靠地估算陆地生态系统碳储量,主要包括地上生物碳储量、地下生物碳储量、土壤碳储量和凋落物有机质碳储量4个部分[22]。计算计算公式为:

$$C_{\text{total}} = C_{\text{above}} + C_{\text{below}} + C_{\text{soil}} + C_{\text{dead}}$$
 (4)

式中: C_{total} 为总碳储量(t); C_{above} 为植被地上碳储量(t); C_{below} 为植被地下碳储量(t); C_{soil} 为土壤碳储量(t); C_{dead} 为凋落物有机物碳储量(t)。

结合 ArcGIS 软件,以 5 年为 1 个研究时段,分析每个时段各类碳储量变化,与土地利用转移矩阵数据叠加,提取退耕还林(草)区的碳储量变化,获取不同退耕措施的碳储量变化情况。

由于贵州省各地类的碳密度研究较少,考虑到气候、土壤等条件的影响,避免研究的不确定性,本文碳密度(表1)借鉴景晓玮^[23]和陈大蓉等^[24]的研究结果,已利用气候条件对碳密度进行修正,即碳密度与气温和降水的关系模型。

表 1 贵州省不同土地利用类型碳密度

Table 1 Carbon intensity of different land use types in Guizhou

Province t/hm²

	1101	mee			c/ 11111
_	土地利用	地上	地下	土壤	凋落物有
	类型	碳密度	碳密度	碳密度	机质碳密度
	耕地	36.48	6.93	92.50	0
	林地	58.27	17.50	173.40	5.48
	草地	1.32	1.40	135.00	0
	水域	0	0	0	0
	未利用地	0.74	0.13	69.92	0
	建设用地	0	0	108.50	0

2 结果与分析

2.1 贵州省土地利用动态变化特征

贵州省土地利用类型主要以林地、耕地和草地为

主(图 2)。林地主要分布在黔东南、黔南地区,耕地主要分布在贵阳市、安顺市和遵义市等地区,草地主要分布在毕节市、六盘水市等西部地区。

土地利用综合动态度呈先降后升的趋势,依次为0.32%,0.11%,0.09%,0.35%(表 2)。土地利用转移方向上,耕地、林地、草地之间相互转换。草地的面积呈减少状态,变化动态度呈先增后减的趋势;耕地的面积先增加后减少,动态度从2000—2005年的0.93%减少为2015—2020年的一0.96%;建设用地和水域面积都呈增加状态,且主要来源于耕地,建设用地动态度平均值为7.42%,表明贵州省城市化发展迅速,建设用地变化格局大,水域面积增加可能与贵州省水利工程有关;林地面积呈先减少后增加的状态,

2000-2005 年减少较多, 动态度为-0.40%, 2005-2015 年动态度同为-0.06%, 2015-2020 年动态度达到最大值 0.49%; 未利用地的平均动态变化度最大, 在 2015-2020 年最大为 105.27%, 但其变化面积较小, 可能与水土流失、石漠化有关。

2.2 贵州省退耕还林(草)时空格局

由表 3 可知,2000—2020 年贵州省退耕还林(草)总面积为 238.12 万 hm²,退耕还林(草)面积呈上升趋势,其扩张速度在逐年增加,从 9.19 万 hm²/a上升至 14.83 万 hm²/a,土地利用转型主要以耕地转向林地为主,面积为 202.12 万 hm²,占总面积的84.86%,其次是耕地转向草地和草地转向林地。退耕还林(草)区主要分布在遵义市、黔西南州、毕节市等地区。

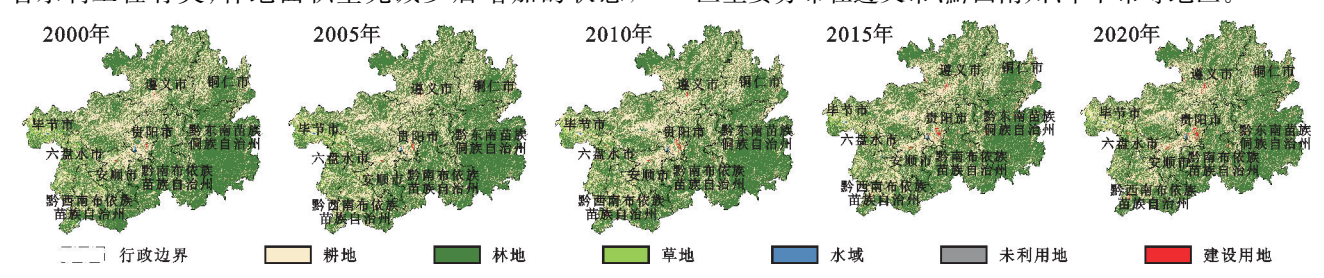


图 2 贵州省 2000 - 2020 年土地利用类型空间分布

Fig.2 Spatial distribution of land use types in Guizhou Province from 2000 to 2020

表 2 贵州省 2000-2020 年土地利用动态变化

Table 2 Land use dynamics in Guizhou Province from 2000 to 2020

土地利用		变化量/	1 10 4 hm 2			动态	度/%	
类型	2000-2005 年	2005—2010年	2010-2015 年	2015—2020 年	2000-2005 年	2005-2010 年	2010-2015 年	2015—2020 年
草地	-5.04	-5.75	-4.21	-1.78	-2.53	-3.30	-2.90	-1.43
耕地	26.86	6.01	3.59	-29.46	0.93	0.20	0.12	-0.96
建设用地	0.89	1.91	3.26	3.60	4.61	8.04	9.77	7.24
林地	-22.79	-3.56	-3.35	27.19	-0.40	-0.06	-0.06	0.49
水域	0.08	1.39	0.72	0.44	0.37	6.40	2.50	1.35
未利用地	0	0	0	0.02	-5.13	4.32	28.99	105.27
	综合动态	度			0.32	0.11	0.09	0.35

表 3 贵州省 2000—2020 年退耕还林(草)面积
Table 3 Area of the Grain-for-Green Project in Guizhou Province from 2000 to 2020

土地利用变化类型	2000—2005 年	2005—2010 年	2010—2015 年	2015—2020 年	总面积
耕地转林地	36.34	47.61	53.94	64.23	202.12
耕地转草地	4.89	3.93	5.93	6.65	21.40
草地转林地	4.73	3.70	2.91	3.26	14.65
总面积	45.96	55.24	62.78	74.14	238.12

退耕还林(草)区在时间与空间上有一定的差异。 2000—2005年,耕地转向林地的面积为 36.34万 hm²,主要分布在贵阳市、黔南州西北部、安顺市、毕 节市西部和遵义市(图 3),耕地转向草地与草地转向 林地的面积分别为 4.89万,4.73万 hm²,主要分布在 毕节市西部、六盘水市及黔西南州等西部地区; 2005—2010年,耕地转向林地的面积为 47.61万 hm²,相对于 2000—2005年增加约 30%,退耕还林 (草)区域向黔西南州、黔南州南部、六盘水市、毕节市中部、遵义市及铜仁市东部地区扩张,耕地转向草地与草地转向林地面积有所减少,面积分别为 39.31 万,3.76 万 hm²,比 2000—2005 年依次减少约 20%和 20.4%,主要分布在毕节市西部、六盘水市和黔西南州,耕地转草地类型向贵阳市南部扩张; 2010—2015 年,耕地转向林地的面积为 53.94 万 hm²,比 2005—2010 年增加 13.29%,主要分布在铜仁市北

 $10^4 \, hm^2$

部、遵义市东部、黔南州西南和六盘水市东部,耕地转向草地的面积为 5.93 万 hm²,增加 50.83%,扩张到黔东南州东部,草地转向林地的面积为 2.90 万 hm²,比 2005—2010 年减少 22.72%;在 2015—2020 年,在

新一轮退耕还林(草)工程实施下,退耕还林(草)面积增至74.14万 hm²,除西北部区域退耕还林(草)面积有所减少外,其余市州都有所增加,主要向贵州省西南部和北部扩张。

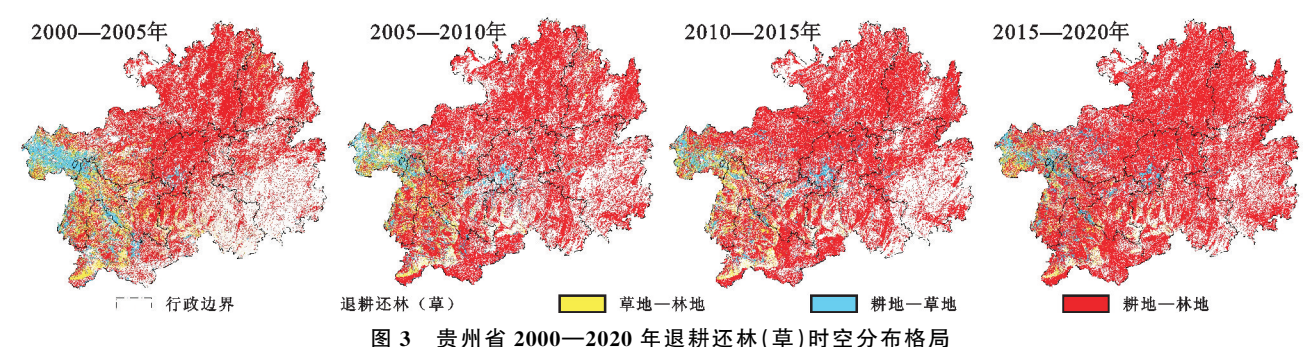


图 5 页州目 2000 2020 平区机足体(早)时工力市情间

Fig.3 Spatial and temporal distribution pattern of the "Grain-for-Green Project" in Guizhou Province from 2000 to 2020

2.3 退耕还林(草)工程实施区的碳储量时空演变特征

经 InVEST 模型计算得到 2000—2020 年贵州省生态系统碳储量依次为 37.29×10^8 , 37.01×10^8 , 36.93×10^8 , 36.86×10^8 , 37.16×10^8 t, 是先下降后上升的趋势, 2000—2015 年从 37.29×10^8 t 下降至 36.86×10^8 t,降幅为 0.92%,主要是由于高碳密度的林地、草地的减少和建设用地增加; 2015—2020 年碳储量升高至 37.17×10^8 t,增幅为 0.83%, 林地面积增加,可

能与 2014 年开启的新一轮退耕还林(草)工程有关,主要是耕地向林地转换的面积增加。全省碳密度的空间分布格局表现为黔东南州、黔南州及遵义市的碳密度高,贵阳市、安顺市、六盘水市等地区碳密度较低(图 4)。黔东南州及黔南州等地主要为高碳密度的林地,毕节市、六盘水市等高海拔区域有较多的草地,贵阳市建设用地增加,可以明显看出低碳密度区域明显扩大。

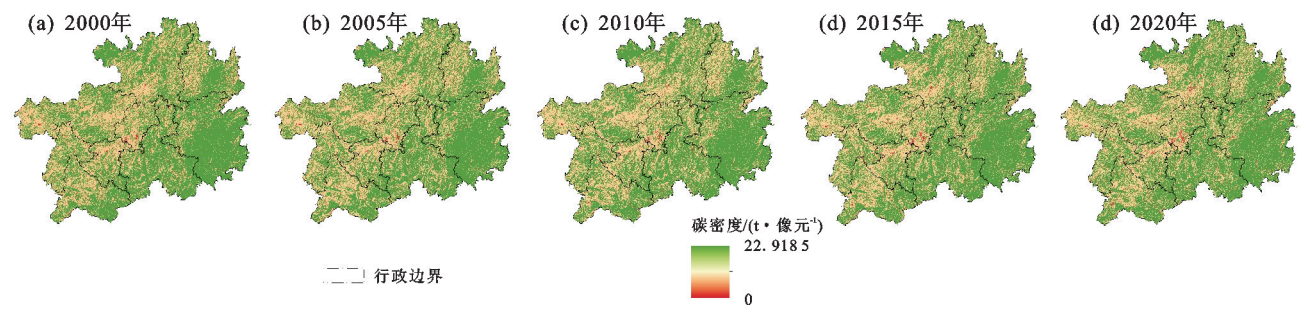


图 4 贵州省碳密度空间分布格局

Fig.4 Spatial distribution pattern of carbon density in Guizhou Province

贵州省 2000—2020 年碳储量变化时空分布特征 见图 5。将碳储量变化分为 3 类,分别为显著减少、 基本不变和显著增加。显著减少区域主要为林地转 向耕地,基本不变区域主要为土地利用类型未变化区域,显著增加区域主要为退耕还林(草)实施区。能够 明显看出全省 2000—2020 年退耕还林(草)工程实施 力度逐渐加大,涉及范围逐渐扩大,区域的碳储量显 著增加。2000—2005 年,碳储量增加区域主要分布 在贵阳市及周边地区,黔南州和黔西南州的碳储量显 著减少;2005—2010 年,六盘水、黔西南州等地区碳储量显著增加,贵阳市、遵义市、铜仁市等地的碳储量显著增加,贵阳市、产省碳储量显著增加,黔西南州西部和六 盘水市等地的碳储量显著增加,黔西南州西部和六 盘水市等地的碳储量显著减少;2015—2020 年,新一 轮退耕还林(草)工程推动下,全省碳储量显著提高, 遵义市、铜仁市和黔西南州等地区增加明显。

由表 4 可知,2000—2020 年全省退耕还林(草)工程的固碳量显著增加约 257.39×10° t,总体呈逐渐增长的趋势。与该工程有关的土地利用变化类型的碳储量变化有显著差异,由耕地转向林地的固碳量占比最大,贡献 239.89×10° t(93.2%),草地转林地的固碳量为 17.12×10° t(6.65%),耕地转向草地固碳量仅为 0.39×10° t(0.15%),表明退耕还林措施有明显的固碳效应,退耕还草对固碳效应影响的显著性较小。在 4 大碳库中,土壤的碳储量变化的贡献最大,为 178.15×10° t(69.21%),植被地上碳储量、植被地下碳储量和死亡有机物质碳储量依次为 44.84×10° (17.42%),22.53×10° (8.75%),11.87×10° t(4.61%)。耕地转向林地和草地转向林地的 4 大碳库均为正效应,而在耕地转向草地土地利用变化类型中,植被地上和地下碳储量减少,仅有土壤碳储量为正效应。

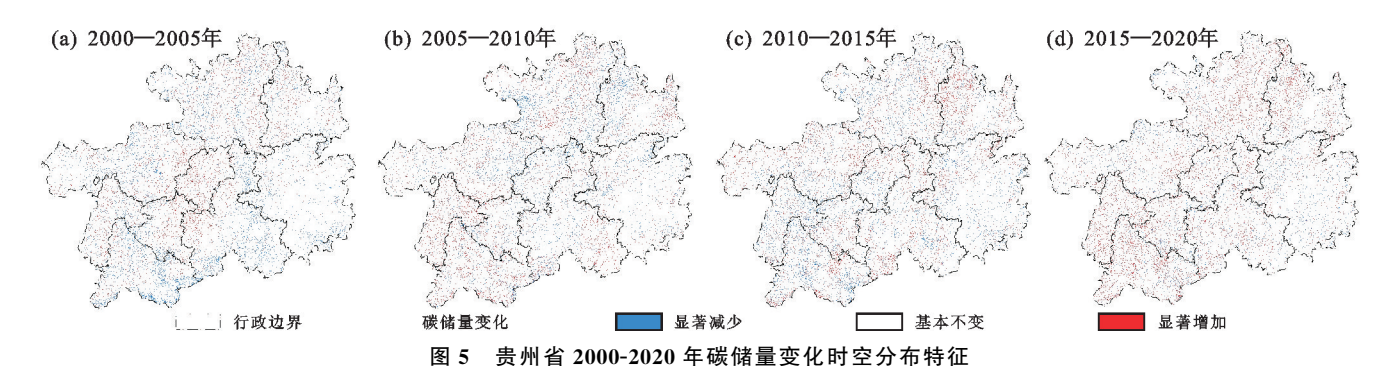


Fig.5 Characteristics of spatial and temporal distribution of carbon stock changes in Guizhou Province from 2000 to 2020 表 4 贵州省 2000—2020 年退耕还林(草)区碳储量变化

Table 4 Changes in carbon stocks in the "Grain-for-Green Project" areas in Guizhou Province from 2000 to 2020

Table 4 Cha	nges in carbon sto	cks in the Grain-10	r-Green Froject areas	ili Guizilou Frovi	ince 11 oin 2000 to 2020	10 τ
年份	土地利用变化	植被地上碳储量	植被地下碳储量	土壤碳储量	凋落物有机质碳储量	总计
	耕地转林地	7.92	3.84	29.39	1.99	43.13
2000—2005	耕地转草地	-1.72	-0.27	2.08	0	0.09
	草地转林地	2.69	0.76	1.81	0.26	5.53
	耕地转林地	10.37	5.03	38.50	2.61	56.51
2005—2010	耕地转草地	-1.38	-0.22	1.67	0	0.0
	草地转林地	2.14	0.61	1.44	0.21	4.3
	耕地转林地	11.75	5.70	43.62	2.95	64.02
2010—2015	耕地转草地	-2.08	-0.33	2.52	0	0.1
	草地转林地	1.65	0.47	1.12	凋落物有机质碳储量 1.99 0 0.26 2.61 0 0.21 2.95	3.40
	耕地转林地	13.99	6.79	51.94	3.52	76.2
2015—2020	耕地转草地	-2.34	-0.37	2.83	0	0.1
	草地转林地	1.85	0.52	1.25	0.18	3.8
	总计	44.84	22.53	178.15	11.87	257.39

3 讨论

(1)研究数据来源于 YANG 等[17]制作的土地利用数据,总体精度达到 79.31%,评估表明其优于MCD12Q1、ESACCI_LC、FROM_GLC 和 Globe-Land30。但不同的数据源、分类系统和分类方法,遥感制图结果差异显著[25]。廖艳梅等[26]利用全国地理信息资源目录服务系统 GlobeLand 30 数据集对贵州省土地利用变化进行研究,土地利用变化面积及速率等有所区别,但土地利用转移的主要方向较为一致。虽然土地利用数据有所差异,但在宏观大尺度上可以体现退耕还林(草)工程引起的土地利用变化规律,随着遥感影像分辨率逐渐提高,分类系统与方法研究深入,土地利用数据分辨率及精度也会更加精确。

(2)总体来看,退耕还林(草)工程对生态固碳具有促进作用,耕地转向林地对碳储量的贡献最大,与部分学者结果具有一致性,部红娟等^[27]研究乌江流域贵州段土地利用变化对碳储量的影响,结果表明,流域碳储量的增加是在退耕还林工程作用下林地碳储量增加的结果;而耕地转向草地对碳储量的贡献最小,许明祥等^[28]分析了黄土丘陵区退耕还林(草)区303个样点的土壤有机碳密度,结果表明,退耕还林具有显著的固碳效益,而退耕还草没有显著的固碳效益。在4大碳库中,土壤碳库是退耕还林(草)区碳储

量的主要贡献者,对生态系统固碳效益影响最大。耕地转向草地的变化类型中,植被地上碳储量和植被地下碳储量均有所下降,可能有以下2个原因:其一,耕地生态系统受人为施肥、灌溉等管理措施的影响,而草地生态系统属于自然恢复的过程,耕地生态系统的植被生长条件较好;其二,贵州省处于喀斯特山区,土层较薄且坡度较大,生态系统脆弱,易发生水土流失和石漠化,草地的保水、保肥能力较差,贵州省在未来退耕还草实施和管理中应同时做好水土保持措施,以促进喀斯特山区草地生态系统恢复。

(3)该模型具有一定的局限性,其一,贵州省不同土地利用碳密度数据较难获取,逐年碳密度数据缺乏,本文所利用的碳密度参考的是前人的研究成果,忽略碳密度变化,因此,估算结果存在不确定性,实际的碳密度随气候变化、人类活动等因素的变化而发生改变,在未来的研究中应连续监测研究区域不同土地利用的碳密度数据,提高碳储量估算精度;其二,估算结果与土地利用的状况有关,本文将土地利用类型分为6类,未考虑到同一地类不同植被和不同树龄等影响对固碳能力的差异性,因此也存在不确定性,今后的研究可根据不同植被类型作为研究对象,以提高估算精度。

4 结论

(1) 2000—2020 年贵州省土地利用格局变化显著。土地利用综合动态度呈先下降后上升的趋势。在 2000—2005 年与 2015—2020 年综合动态度较大,可能与 2000 年和 2014 年开启的 2 轮退耕还林(草)工程有关;建设用地、水域的面积增加,主要来源于耕地,表明贵州省城市化及水利工程发展迅速。草地、耕地与林地之间相互转移,表明退耕还林(草)工程引起土地利用变化明显。

(2)2000—2020 年贵州省退耕还林(草)工程效果显著。退耕还林(草)规模呈上升趋势,其扩张速度在逐年增加,其中主要以退耕还林措施为主,占退耕还林(草)总规模的84.86%,退耕还林(草)区主要分布在遵义市、毕节市、黔西南州等地,具有由中部向四周扩张的趋势。

(3)2000—2020 年贵州省退耕还林(草)工程促使退耕还林(草)区的碳储量增加。退耕还林措施对提高固碳量的贡献高于退耕还草措施,更有利于提高区域碳储量;土壤的碳储量变化对总碳储量的贡献最大。因此,退耕还林(草)工程对提高区域碳储量和改善生态环境有重要意义。

参考文献:

- [1] 李坦,惠宝航,张添烨,等.1999—2019 年中国退耕还林 工程研究进展[J].安徽农业大学学报(社会科学版), 2022,31(3):38-49.
 - LIT, HUIBH, ZHANGTY, et al. A review of the research on the grain for green program in China: 1999—2019[J]. Journal of Anhui Agricultural University (Social Sciences Edition), 2022, 31(3): 38-49.
- [2] 刘国彬,上官周平,姚文艺,等.黄土高原生态工程的生态成效[J].中国科学院院刊,2017,32(1):11-19.
 LIU G B, SHANGGUAN Z P, YAO W Y, et al. Ecological effects of soil conservation in Loess Plateau[J].Bulletin of the Chinese Academy of Sciences,2017,32(1):11-19.
- [3] 时亚坤,曾奕,郭金金,等.黄土高原新一轮退耕还林草工程对粮食生产的影响[J].水土保持研究,2022,29(3): 419-425.

 SHI Y K, ZENG Y, GUO J J, et al. Effect of the new phase of the Grain for Green Program on grain output
- on the Loess Plateau [J]. Research of Soil and Water Conservation, 2022, 29(3):419-425.
 [4] 吴普侠,汪晓珍,吴建召,等.中国退耕还林工程固碳现状及固碳潜力估算[J].水土保持学报, 2022, 36(4):342-349.
 - 固碳潜力估算[J].水土保持学报,2022,36(4):342-349. WUPX, WANGXZ, WUJZ, et al. Estimation of carbon stock and carbon sequestration potential for China's Grain for Green Project[J]. Journal of Soil and Water Conservation,2022,36(4):342-349.

- [5] 度阳.黄土高原地区退耕还林(草)工程效果研究[D].陕西 杨凌:西北农林科技大学,2018.
 - DU Y. Study on effects of SLCP in Loess Plateau[D]. Yangling, Shanxi: Northwest A&F University, 2018.
- [6] 方月,王云强,宋怡.基于 RS 和 GIS 的陕西省洛川县土 地利用类型和植被覆盖变化特征[J].地球环境学报, 2024,15(1):118-128.
 - FANG Y, WANG Y Q, SONG Y. Characteristics of land-use types and vegetation cover changes in Luochuan County of Shaanxi Province based on RS and GIS[J]. Journal of Earth Environment, 2024, 15(1):118-128.
- [7] 朴世龙,何悦,王旭辉,等.中国陆地生态系统碳汇估算: 方法、进展、展望[J].中国科学:地球科学,2022,52(6): 1010-1020.
 - PIAO S L, HE Y, WANG X H, et al. Estimation of China's terrestrial ecosystem carbon sink: Methods, progress and prospects [J]. Science China Earth Sciences, 2022, 52(6):1010-1020.
- [8] 戴尔阜,黄宇,吴卓,等.内蒙古草地生态系统碳源/汇时 空格局及其与气候因子的关系[J].地理学报,2016,71 (1):21-34.
 - DAIE F, HUANG Y, WU Z, et al. Spatial-temporal features of carbon source-sink and its relationship with climate factors in Inner Mongolia grassland ecosystem [J]. Journal of Geographical Sciences, 2016, 71(1); 21-34.
- [9] SHEVLIAKOVA E, STOUFFER R J, MALYSHEV S, et al. Historical warming reduced due to enhanced land carbon uptake [J]. Proceedings of the National Academy of Sciences of the United States of America, 2013,110(42):16730-16735.
- [10] HASHIM T T, SURATMAN M N, SINGH H R, et al. Predictive model of mangroves carbon stocks in Kedah, Malaysia using remote sensing[J]. IOP Conference Series: Earth and Environmental Science, 2020, 540(1):e012033.
- [11] 李胡跃,戴全厚,胡泽银,等.基于 PLUS 和 InVEST 模型的贵阳市碳储量时空演变及多情景模拟预测[J].水土保持通报,2024,44(3):441-451.
 - LI H Y, DAI Q H, HU Z Y, et al. Temporal and spatial evolution of carbon storage in Guiyang city based on PLUS-InVEST model and multi-scenario simulation and prediction[J]. Bulletin of Soil and Water Conservation, 2024,44(3):441-451.
- [12] KOHESTANI N, RASTGAR S, HEYDARI G, et al. Spatiotemporal modeling of the value of carbon sequestration under changing land use/land cover using InVEST model: A case study of Nour-rud Watershed, Northern Iran[J]. Environment, Development and Sustainability, 2024, 26(6):14477-14505.
- [13] 胡晓倩.南方红壤丘陵区退耕还林(草)土壤保持和固碳服务及其空间关系影响因素研究[D].长沙:湖南大学,2022.

- HU X Q. Study on soil conservation and carbon sequestration of the Grain for Green Program and its influencing factors in the hilly red soil region of southern China [D].Changsha: Hunan University, 2022.
- [14] 姚楠,刘广全,姚顺波,等.基于 InVEST 模型的黄土丘 陵沟壑区退耕还林还草工程对生态系统碳储量的影响评估[J].水土保持通报,2022,42(5):329-336. YAO N, LIU G Q, YAO S B, et al. Evaluationg on effect of conversion from farmland to forest and grassland project on ecosystem carbon storage in loess hillygully region based on InVEST model[J].Bulletin of Soil and Water Conservation,2022,42(5):329-336.
- [15] 余万洋,陈恰帆,方发永,等.1980—2020 年贵州省草地空间分布格局演变及驱动力分析[J].草业学报,2024,33(1):1-18. YU W Y, CHEN Y F, FANG F Y, et al. An analysis of grassland spatial distribution and driving forces of patterns of change in grassland distribution in Guizhou Province from 1980 to 2020[J]. Acta Prataculturae Sinica,2024,33(1):1-18,
- [16] 杨永艳,韦堂梅,李明泽,等.贵州省退耕还林工程监测县生态效益评价[J]贵州林业科技,2023,51(3):51-58.
 YANG YY, WEITM, LIMZ, et al. Evaluating ecological benefits on Grain for Green Project (GGP) in Monitoring Counties of Guizhou Province[J]. Guizhou Forestry Science and Technology,2023,51(3):51-58.
- [17] YANG J, HUANG X. The 30 m annual land cover dataset and its dynamics in China from 1990 to 2019[J]. Earth System Science Data, 2021, 13(8): 3907-3925.
- [18] 甄艳,吴宗攀,尹志恒,等.四川省若尔盖县土地利用时空变化研究[J].生态科学,2022,41(2):41-49.

 ZHEN Y, WU Z P, YIN Z H, et al. Study on spatio-temporal change of land use in Zoige County, Sichuan Province[J].Ecological Science,2022,41(2):41-49.
- [19] 黄钰清,李骁尧,于强,等.1995—2018 年黄河流域土地 利用变化及驱动力分析[J].西北林学院学报,2022,37 (6):113-121. HUANG Y Q, LI X Y, YU Q, et al. An analysis of
 - land use change and driving forces in the Yellow River Basin from 1995 to 2018[J]. Journal of Northwest Forestry University, 2022, 37(6):113-121.
- [20] 刘婉如,陈春波,罗格平,等.巴尔喀什湖流域土地利用/ 覆被变化过程与趋势[J].干旱区研究,2021,38(5): 1452-1463. LIU W R, CHEN C B, LUO G P, et al. Change processes and trends of land use/cover in the Balkhash Lake Basin[J].Arid Zone Research,2021,38(5):1452-1463.
- [21] 李慧颖.基于遥感和 InVEST 模型的辽宁省退耕还林工程生态效应评估[D].长春:吉林大学,2019. LI H Y. The evaluation on ecological effects of the pro-

- ject of returing farmland to forest in Liaoning Province, based on remote sensing and InVEST model[D].Changchun: Jilin University, 2019.
- [22] 刘冠,李国庆,李洁,等.基于 InVEST 模型的 1999—2016 年麻塔流域碳储量变化及空间格局研究[J].干旱区研究,2021,38(1):267-274.
 - LIU G, LI G Q, LI J, et al. Study on change in carbon storage and its spatial pattern in Mata Watershed from 1999 to 2016 based on InVEST model [J]. Arid Zone Research, 2021, 38(1); 267-274.
- [23] 景晓玮.基于 InVEST 模型的贵州省生态系统服务计量及价值评估研究[D].南京:南京林业大学,2022.

 JING X W. Research on the measurement and valuation of ecosystem services in Guizhou Province based on the InVEST model[D].Nanjing: Nanjing Forestry University,2022.
- [24] 陈大蓉,周旭,杨胜天,等.基于贵州省土地变化的碳储量演变及其脆弱性特征分析[J].水土保持通报,2023,43(3):301-309.
 - CHEN D R, ZHOU X, YANG S T, et al. Analysis of carbon stock evolution and its vulnerability characteristics based on land use change in Guizhou Province[J]. Bulletin of Soil and Water Conservation, 2023, 43 (3): 301-309.
- [25] 侯西勇,邸向红,侯婉,等.中国海岸带土地利用遥感制图及精度评价[J].地球信息科学学报,2018,20(10): 1478-1488.
 - HOU X Y, DI X H, HOU W, et al. Accuracy evaluation of land use mapping using remote sensing techniques in coastal zone of China[J]. Journal of Geo-Information Science, 2018, 20(10):1478-1488.
- [26] 廖艳梅,尹林江,韩敏,等.贵州省土地利用变化及其生态效应分析[J].湖北农业科学,2023,62(9):25-30.
 LIAO Y M, YIN L J, HAN M, et al. Analysis of land use change and its ecological effects in Guizhou Province [J]. Hubei Agricultural Sciences,2023,62(9):25-30.
- [27] 郜红娟,韩会庆,张朝琼,等.乌江流域贵州段 2000—2010 年土地利用变化对碳储量的影响[J].四川农业大学学报,2016,34(1):48-53. GAO H J, HAN H Q, ZHANG C Q, et al. Effects of
 - GAO H J, HAN H Q, ZHANG C Q, et al. Effects of land use change on carbon storage in Wujiang River of Guizhou Province from 2000—2010[J]. Journal of Sichuan Agricultural University, 2016, 34(1):48-53.
- [28] 许明祥,王征,张金,等.黄土丘陵区土壤有机碳固存对 退耕还林草的时空响应[J].生态学报,2012,32(17): 5405-5415.
 - XU M X, WANG Z, ZHANG J, et al. Response of soil organic carbon sequestration to the "Grain for Green Project" in the hilly Loess Plateau region[J]. Acta Ecologica Sinica, 2012, 32(17):5405-5415.